

Examen de Mécanique Quantique  
SM- SMI 3

I- 10 points

B- A la date  $t=0$ , on considère un paquet d'onde  $\psi(x,0)$  à une dimension, de position moyenne  $x_0$  et d'impulsion moyenne  $p_0$ , défini par :

$$\psi(x,0) = e^{i\frac{p_0 x}{\hbar}} f(x - x_0) \text{ avec } f(x) = C e^{-\frac{x^2}{2\sigma^2}}$$

La transformée de Fourier de la fonction  $f(x)$  a pour expression:

$$\text{T.F.}(f(x)) = \tilde{f}(p) = \frac{1}{\sqrt{2\pi\hbar}} \int_{-\infty}^{+\infty} e^{-i\frac{px}{\hbar}} f(x) dx = C \frac{\sigma}{\sqrt{\hbar}} e^{-\frac{p^2 \sigma^2}{2\hbar^2}}$$

1- Déterminer l'expression de  $\tilde{\psi}(p,0) = \text{TF}(\psi(x,0))$

2- Si l'écart quadratique moyen  $\Delta x_0$  est tel que:  $\Delta x_0 = \frac{\sigma}{\sqrt{2}}$ , Que vaut alors la valeur limite de l'écart quadratique moyen  $\Delta p_0$ .

3- Le paquet d'onde évolue librement. On note  $H = \frac{p^2}{2m}$  l'hamiltonien du système.

Montrer que la T.F.  $(\psi(x,t)) = \tilde{\psi}(p,t) = e^{-i\frac{H(p)t}{\hbar}} \tilde{\psi}(p,0)$

4- L'approximation, à l'ordre 1 en  $p$ , de  $H$  nous donne:

$$H(p) \approx H(p_0) + (p - p_0) \left( \frac{\partial H}{\partial p} \right)_{p=p_0}$$

$$\text{On posera : } p_0 = mv \text{ et } E = \frac{1}{2}mv^2$$

Déterminer l'expression de  $\psi(x,t)$

Interpréter physiquement le résultat obtenu.

TSVP

## II- 10 points

**A-** On considère le potentiel défini par  $V(x)$  tel que :

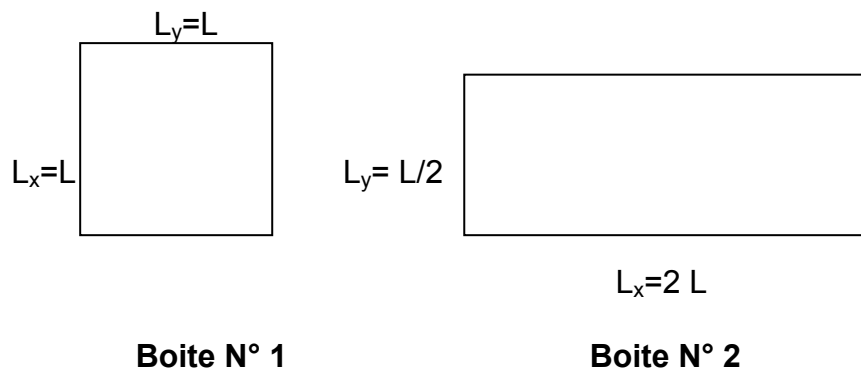
$$V(x) = \begin{cases} +\infty & \text{pour } x < 0 \\ 0 & \text{pour } 0 < x < L_x \\ +\infty & \text{pour } x > L_x \end{cases}$$

1- Résoudre l'équation de Schrödinger dans les différentes zones.

2- Montrer que l'énergie est quantifiée et déterminer son expression  $E_{n_x}$

On normalisera les fonctions d'ondes à l'unité.

**B-** On considère deux boîtes quantiques bidimensionnelles comme le montre la figure ci-dessous. Chacune d'elle contient un électron.



**Boite N° 1**

**Boite N° 2**

1- Déterminer l'expression de l'énergie  $E_{n_x, n_y}$  pour chacune des deux boîtes en utilisant les résultats de la partie A.

2- Laquelle des deux boîtes correspond à l'état fondamental de plus basse énergie ? Y'a-t-il des niveaux dégénérés ? Justifier votre réponse

3- Déterminer les énergies des deux premiers états excités pour chacune des boîtes. Laquelle des deux boîtes correspond au premier état excité de plus basse énergie? Justifier votre réponse

4- Si la longueur d'onde du photon émis quand l'électron passe de l'état excité à l'état fondamental dans la boîte 1 est égale à 650 nm, quelle est la longueur d'onde du photon émis quand l'électron passe de l'état excité à l'état fondamental dans la boîte 2 ?

A quel domaine de rayonnement électromagnétique appartient-elle ?

**Corrigé de l'examen de mécanique quantique  
SM- SMI 3**

**I-**

**1-** La transformée de Fourier de  $\psi(x,0)$  est donnée par :

$$\text{T.F.}(\psi(x,0)) = \tilde{\psi}(p,0) = \frac{1}{\sqrt{2\pi\hbar}} \int_{-\infty}^{+\infty} e^{-\frac{px}{\hbar}} \psi(x,0) dx = \frac{1}{\sqrt{2\pi\hbar}} \int_{-\infty}^{+\infty} e^{-\frac{(p-p_0)x}{\hbar}} f(x-x_0) dx$$

Posons:  $x - x_0 = x'$ , on obtient alors:

$$\begin{aligned} \tilde{\psi}(p,0) &= \frac{1}{\sqrt{2\pi\hbar}} \int_{-\infty}^{+\infty} e^{-\frac{(p-p_0)(x'+x_0)}{\hbar}} f(x') dx' \\ \tilde{\psi}(p,0) &= e^{-\frac{(p-p_0)x_0}{\hbar}} \frac{1}{\sqrt{2\pi\hbar}} \int_{-\infty}^{+\infty} e^{-\frac{(p-p_0)x'}{\hbar}} f(x') dx' \\ \tilde{\psi}(p,0) &= e^{-\frac{(p-p_0)x_0}{\hbar}} \tilde{f}(p-p_0) \\ \tilde{\psi}(p,0) &= e^{-\frac{(p-p_0)x_0}{\hbar}} C \frac{\sigma}{\sqrt{2}} e^{-\frac{(p-p_0)^2}{2\hbar^2}\sigma^2} \end{aligned}$$

**2-** On a  $\Delta x_0 \Delta p_0 \geq \frac{\hbar}{2}$  : la relation d'incertitude d'Heisenberg.

Comme l'écart quadratique sur la position à l'instant  $t=0$  est  $\Delta x_0 = \frac{\sigma}{\sqrt{2}}$ , l'écart quadratique sur

l'impulsion à l'instant  $t=0$   $\Delta p_0$  aura pour valeur limite:  $\Delta p_0 = \frac{\hbar}{2\Delta x_0} = \frac{\hbar}{\sigma\sqrt{2}}$

**3-** Avec la notation de Dirac, L'équation de Schrödinger est donnée par :

$$i\hbar \frac{\partial}{\partial t} |\psi\rangle = \hat{H} |\psi\rangle$$

Dans la représentation  $\{|p\rangle\}$ , elle s'écrira :

$$\begin{aligned} i\hbar \frac{\partial}{\partial t} \langle p | \psi \rangle &= \langle p | \hat{H} | \psi \rangle \\ i\hbar \frac{\partial \tilde{\psi}(p,t)}{\partial t} &= H(p) \langle p | \psi \rangle \quad \text{avec } H(p) = \frac{p^2}{2m} \\ i\hbar \frac{\partial \tilde{\psi}(p,t)}{\partial t} &= H(p) \tilde{\psi}(p,t) \\ \frac{\partial \tilde{\psi}(p,0)}{\tilde{\psi}(p,0)} &= \frac{-i}{\hbar} H(p) \partial t \Leftrightarrow \tilde{\psi}(p,t) = A e^{-\frac{iH(p)t}{\hbar}} \end{aligned}$$

à  $t=0$ ,  $\tilde{\psi}(p,0) = A$  :

$$\tilde{\psi}(p,t) = \tilde{\psi}(p,0) e^{-\frac{iH(p)t}{\hbar}}$$

4- L'expression de  $\psi(x,0)$  est déterminée à partir de la transformée de Fourier inverse, soit :

$$\psi(x,t) = \text{T.F.}^{-1} \left( \tilde{\psi}(p,t) \right) = \frac{1}{\sqrt{2\pi\hbar}} \int_{-\infty}^{+\infty} e^{i\frac{px}{\hbar}} \tilde{\psi}(p,t) dp$$

Compte tenu de  $\tilde{\psi}(p,t) = \tilde{\psi}(p,0) e^{-i\frac{H(p)t}{\hbar}}$ , alors:  $\psi(x,t) = \frac{1}{\sqrt{2\pi\hbar}} \int_{-\infty}^{+\infty} e^{i\frac{px}{\hbar}} \tilde{\psi}(p,0) e^{-i\frac{H(p)t}{\hbar}} dp$

Or  $H(p) \approx H(p_0) + (p - p_0) \left( \frac{\partial H}{\partial p} \right)_{p=p_0} = \frac{p_0^2}{2m} + (p - p_0) \frac{p_0}{m} = -\frac{p_0^2}{2m} + p \frac{p_0}{m} = -\frac{p_0^2}{2m} + pv = -E + pv$

$$\psi(x,t) = \frac{1}{\sqrt{2\pi\hbar}} \int_{-\infty}^{+\infty} e^{i\frac{px}{\hbar}} \tilde{\psi}(p,0) e^{-i\frac{(-E+vp)t}{\hbar}} dp$$

$$\psi(x,t) = e^{+i\frac{Et}{\hbar}} \frac{1}{\sqrt{2\pi\hbar}} \int_{-\infty}^{+\infty} e^{i\frac{x}{\hbar}p} \tilde{\psi}(p,0) e^{-i\frac{vt}{\hbar}p} dp$$

$$\psi(x,t) = e^{+i\frac{Et}{\hbar}} \frac{1}{\sqrt{2\pi\hbar}} \int_{-\infty}^{+\infty} e^{i\frac{(x-vt)}{\hbar}p} \tilde{\psi}(p,0) dp$$

$$\psi(x,t) = e^{+i\frac{Et}{\hbar}} \psi(x - vt, 0)$$

On note que la densité de probabilité reste inchangée :  $|\psi(x,t)|^2 = |\psi(x - vt, 0)|^2$

C'est la même allure pour les deux courbes  $|\psi(x,0)|^2$  et  $|\psi(x,t)|^2$  avec un changement du centre de la gaussienne.

## II-

1- La résolution de l'équation de Schrödinger dans la zone où le potentiel est nul donne :

On a :  $-\frac{\hbar^2}{2m} \frac{\partial^2 \phi(x)}{\partial x^2} = E\phi(x)$

$\phi(x) = Ae^{ikx} + Be^{-ikx}$  avec  $k^2 = \frac{2mE}{\hbar^2}$

Ailleurs, la fonction d'onde est nulle.

Relations de continuité :

$\phi(0) = A + B = 0 \Leftrightarrow A = -B$  et  $\phi(L_x) = A(e^{ikL_x} - e^{-ikL_x}) = 0 \Leftrightarrow kL_x = n_x\pi$  avec  $n_x$  un entier.

$\phi(x)$  est normalisée à l'unité:  $\int_0^{L_x} |\phi(x)|^2 dx = 1$

On en déduit:  $\phi(x) = \phi_{n_x}(x) = \sqrt{\frac{2}{L_x}} \sin\left(\frac{n_x\pi}{L_x}x\right)$

2- On a  $E = \frac{\hbar^2 k^2}{2m}$  et  $k = \frac{n_x\pi}{L_x}$ . Par conséquent :  $E = E_n = \frac{\hbar^2 \pi^2}{2mL_x^2} n_x^2$  avec  $n_x$  un entier.

On voit que l'énergie est quantifiée.

## B-

1- Par analogie avec la partie A, on peut écrire directement pour le cas bidimensionnel:

$$E_{n_x, n_y} = \frac{\pi^2 \hbar^2}{2m} \left( \frac{n_x^2}{L_x^2} + \frac{n_y^2}{L_y^2} \right)$$

Boite n°1:  $L_x = L_y = L$ :

$$E_{n_x, n_y} = \frac{\pi^2 \hbar^2}{2mL^2} (n_x^2 + n_y^2)$$

Boite n°2 :  $L_x=2L$  et  $L_y=L/2$  :

$$E_{n_x, n_y} = \frac{\pi^2 \hbar^2}{2mL^2} \left( \frac{n_x^2}{4} + 4n_y^2 \right)$$

2- Etat fondamental ( $n_x=n_y=1$ ) dans la boite n°1 :  $E_{1,1} = \frac{\pi^2 \hbar^2}{2mL^2} \cdot 2$

- Etat fondamental ( $n_x=n_y=1$ ) dans la boite n°2 :  $E_{1,1} = \frac{\pi^2 \hbar^2}{2mL^2} \left( \frac{1}{4} + 4 \right) = \frac{\pi^2 \hbar^2}{2mL^2} \cdot 4,25$

On voit que c'est l'état fondamental de la boite n°1 qui correspond à la plus faible énergie.

### 3- Etats excités

Pour la boite n°1:

1<sup>er</sup> état excité ( $n_x=1$  et  $n_y=2$  ou  $n_x=2$  et  $n_y=1$ ):  $E_{1,2} = E_{2,1} = \frac{\pi^2 \hbar^2}{2mL^2} \cdot 5$

C'est donc un niveau doublement dégénéré.

2<sup>ème</sup> état excité ( $n_x=2$  et  $n_y=2$ ):  $E_{2,2} = \frac{\pi^2 \hbar^2}{2mL^2} \cdot 8$

Pour la boite n°2:

1<sup>er</sup> état excité ( $n_x=2$  et  $n_y=1$ ):  $E_{2,1} = \frac{\pi^2 \hbar^2}{2mL^2} \left( \frac{4}{4} + 4 \right) = \frac{\pi^2 \hbar^2}{2mL^2} \cdot 5$

$E_{1,2} = \frac{\pi^2 \hbar^2}{2mL^2} \left( \frac{1}{4} + 16 \right) = \frac{\pi^2 \hbar^2}{2mL^2} \cdot 16,25 > E_{2,1}$

2<sup>ème</sup> état excité ( $n_x=3$  et  $n_y=1$ ):  $E_{3,1} = \frac{\pi^2 \hbar^2}{2mL^2} \cdot 6,25$

**Remarque:**  $E_{1,3} > E_{2,2} > E_{3,1}$

On note que :

L'énergie du premier état excité dans la boite n°1 est égale à celui de la boite n°2.

$$4- \hbar\omega = \frac{hC}{\lambda} = E_{\text{initiale}} - E_{\text{finale}}$$

a- Quand on passe du premier état excité à l'état fondamental :

Dans la boite n°1 :  $E_i - E_f = \frac{hC}{\lambda_1} = E_{1,2} - E_{1,1} = \frac{\pi^2 \hbar^2}{2mL^2} (5 - 2) = \frac{\pi^2 \hbar^2}{2mL^2} \cdot 3$

Dans la boite n°2 :  $E_i - E_f = \frac{hC}{\lambda_2} = E_{2,1} - E_{1,1} = \frac{\pi^2 \hbar^2}{2mL^2} (5 - 4,25) = \frac{\pi^2 \hbar^2}{2mL^2} \cdot 0,75$

On voit que  $\frac{\lambda_2}{\lambda_1} = 4 \Leftrightarrow \lambda_2 = 4\lambda_1$  **A.N. :**  $\lambda_2 = 2600 \text{ nm} = 2,6 \mu\text{m}$

C'est un rayonnement infrarouge.

b- Quand on passe du deuxième état excité à l'état fondamental :

Dans la boite n°1 :  $E_i - E_f = \frac{hC}{\lambda_1} = E_{2,2} - E_{1,1} = \frac{\pi^2 \hbar^2}{2mL^2} (8 - 2) = \frac{\pi^2 \hbar^2}{2mL^2} \cdot 6$

Dans la boîte n°2 :  $E_i - E_f = \frac{hc}{\lambda_2} = E_{3,1} - E_{1,1} = \frac{\pi^2 \hbar^2}{2mL^2} (6,25 - 4,25) = \frac{\pi^2 \hbar^2}{2mL^2} \cdot 2$

On voit que  $\frac{\lambda_2}{\lambda_1} = \frac{6}{2} \Leftrightarrow \lambda_2 = 3\lambda_1$       **A.N. :**  $\lambda_2 = 1950 \text{ nm} = 1,95 \mu\text{m}$

C'est un rayonnement infrarouge, plus énergétique que le précédent.